

Laboratorio 4

Problema Lineal Cuadrático

Estudiantes: Maximiliano S. Lioi
Isidora Reyes
Profesor: Héctor Ramírez C.
Auxiliar: Matías V. Vera
Ayudante de laboratorio: S. Adrián Arellano
Santiago de Chile

Índice de Contenidos

1. Contexto	1
2. Ejercicio 1	2
3. Ejercicio 2	4
4. Ejercicio 3	6
5. Ejercicio 4	11
6. Ejercicio 5	16

Índice de Figuras

1. Trayectoria Óptima obtenido del principio del máximo de Pontryagin	10
2. Control óptimo del principio del máximo de Pontryagin	10
3. Trayectoria óptima feedback mediante ecuación de Riccati	13
4. Control óptimo feedback mediante ecuación de Riccati	14
5. Exporte de datos de BOCOP	16
6. Gráficos obtenidos resolviendo directamente en BOCOP	18
7. Valor objetivo obtenido a través de BOCOP	18
8. Trayectoria simulada en Python con datos exportados de BOCOP	21
9. Controles óptimos en Python con datos exportados de BOCOP	24

Índice de Códigos

1. Solución del problema de optimización	8
2. Solución máximo de Pontryagin (PMP)	9
3. Solución del problema por feedback lineal (FL)	12
4. Error L2 de las trayectorias y controles	15
5. criterion.tpp	17
6. dynamics.tpp	17
7. dynamics.tpp	17
8. Exporte de las trayectorias de BOCOP	19
9. Error entre resultados de BOCOP con Python para trayectorias	22
10. Exporte de los controles óptimos de BOCOP	23

1. Contexto

Consideramos una partícula en el espacio, la cuál está sometida a las fuerzas dadas por $F_x = x + u$ y $F_y = y + v$, donde u y v son los controles del sistema. Además de lo anterior, la velocidad del eje z depende de la posición en los ejes x e y de la forma $\dot{z} = x + y$. El sistema queda entonces descrito por la ecuación diferencial:

$$\ddot{x} = x + u ; \ddot{y} = y + v ; \dot{z} = x + y$$

La partícula tiene masa unitaria, y en el instante inicial, se encuentra en reposo en la posición $(1, 1, 0)$.

Luego el sistema controlado se representa de forma matricial considerando

$$X(t) = \begin{bmatrix} x(t) \\ \dot{x}(t) \\ y(t) \\ \dot{y}(t) \\ z(t) \end{bmatrix}$$

$$\dot{X}(t) = \begin{bmatrix} \dot{x}(t) \\ x(t) + u(t) \\ \dot{y}(t) \\ y(t) + v(t) \\ x(t) + y(t) \end{bmatrix} = \begin{bmatrix} 0 & 1 & 0 & 0 & 0 \\ 1 & 0 & 0 & 0 & 0 \\ 0 & 0 & 0 & 1 & 0 \\ 0 & 0 & 1 & 0 & 0 \\ 1 & 0 & 1 & 0 & 0 \end{bmatrix} X(t) + \begin{bmatrix} 0 & 0 \\ 1 & 0 \\ 0 & 0 \\ 0 & 1 \\ 0 & 0 \end{bmatrix} \begin{bmatrix} u(t) \\ v(t) \end{bmatrix}$$

De ahora en adelante, consideraremos $t_f = 5$ controles irrestrictos.

El problema presentado ahora, consiste en minimizar la fuerza total ejercida, en conjunto con la energía cinética al final del tramo, en particular, se debe minimizar el funcional:

$$J(u(\cdot), v(\cdot)) := K(t_f) + \int_0^{t_f} \|(u(t), v(t))\|^2 dt,$$

donde $K(t) := \frac{1}{2}m(t)V(t)^2$ es la energía cinética, $m(t)$ es la masa y $V(t)$ es la velocidad, para nuestro modelo se tienen los datos

$$V(t)^2 = \dot{x}^2(t) + \dot{y}^2(t) + \dot{z}^2(t) = \dot{x}^2(t) + \dot{y}^2(t) + (x(t) + y(t))^2$$

$$m(t) = 1$$

2. Ejercicio 1

Se modela la situación como un problema lineal cuadrático, identificando las matrices $Q(\cdot)$, $W(\cdot)$, $U(\cdot)$, nos interesa ver si se cumplen las condiciones vistas en cátedra para asegurar existencia y unicidad del nuevo problema lineal cuadrático para los controles óptimos $(u(t), v(t))$.

Queremos minimizar el funcional

$$J(u(\cdot), v(\cdot)) = \frac{m(t_f)V(t_f)^2}{2} + \int_0^{t_f} \|(u(t), v(t))\|^2 dt$$

Para ello, busquemos escribir el funcional de la forma

$$J(u(\cdot)) = X(t_f)^T Q X(t_f) + \int_0^{t_f} X(t)^T W(t) X(t) + u(t)^T U(t) u(t) dt$$

Tenemos masa unitaria y suponemos que la masa no varía a lo largo del tiempo, luego

$$m(t_f) = 1$$

Además, podemos expresar la velocidad de la partícula como

$$V(t)^2 = \dot{x}^2(t) + \dot{y}^2(t) + \dot{z}^2(t)$$

La dinámica del sistema nos dice que $\dot{z} = x + y$, por lo que

$$\dot{z}^2(t_f) = x^2(t_f) + 2x(t_f)y(t_f) + y^2(t_f)$$

Entonces, el criterio de minimización tiene la forma explícita

$$J(u(\cdot), v(\cdot)) = \frac{1}{2}(\dot{x}(t_f)^2 + \dot{y}(t_f)^2 + x^2(t_f) + 2x(t_f)y(t_f) + y^2(t_f)) + \int_0^{t_f} u(t)^2 + v(t)^2 dt$$

Tenemos para una matriz Q que la forma cuadrática

$$x^T Q x = \sum_{i=1}^n \sum_{j=1}^n x_i Q_{ij} x_j$$

Por lo que necesitamos que

$$Q_{22} = 1, Q_{44} = 1, Q_{11} = 1, Q_{33} = 1, Q_{13} = 1, Q_{31} = 1$$

Para obtener $\dot{x}(t_f)^2 + \dot{y}(t_f)^2 + x^2(t_f) + 2x(t_f)y(t_f) + y^2(t_f)$, luego la matriz Q debe ser

$$Q = \frac{1}{2} \begin{bmatrix} 1 & 0 & 1 & 0 & 0 \\ 0 & 1 & 0 & 0 & 0 \\ 1 & 0 & 1 & 0 & 0 \\ 0 & 0 & 0 & 1 & 0 \\ 0 & 0 & 0 & 0 & 0 \end{bmatrix}$$

Por lo demás, los valores propios de Q son

$$\lambda_1 = 0, \lambda_2 = 0, \lambda_3 = 1, \lambda_4 = 1/2, \lambda_5 = 1/2$$

Y por lo tanto $Q \in S_+^n$, por lo demás, tomamos $W(t) = 0_n \in S_+^n$ y $U(t) = I_n \in S_{++}^n$, de donde concluimos que se cumplen las hipótesis que asumimos en cátedra, a partir de estas condiciones y usando que $U(t) = I$, que implica $\|u\|_{L^2} = \|u\|_U$, se tiene la buena posición del problema lineal cuadrático.

3. Ejercicio 2

Usando el Principio del Máximo de Pontryagin deseamos probar que el control óptimo esta dado por $(u^*(t), v^*(t)) = (p_2(t), p_4(t))$, con $p(\cdot)$ solución de:

$$\dot{p}(t) = - \begin{pmatrix} 0 & 1 & 0 & 0 \\ 1 & 0 & 0 & 0 \\ 0 & 0 & 0 & 1 \\ 0 & 0 & 1 & 0 \end{pmatrix} p(t); \quad p(t_f) = -\frac{1}{2} \begin{pmatrix} x(t_f) + y(t_f) \\ \dot{x}(t_f) \\ x(t_f) + y(t_f) \\ \dot{y}(t_f) \end{pmatrix}$$

Tenemos del principio del máximo de Pontryagin para el Problema Lineal Cuadrático que existe una función absolutamente continua $p(\cdot)$ tal que

$$\dot{p}(t) = -A(t)^T p(t) + W(t)x(t); p(t_f) = -Qx(t_f)$$

Para $x(t)$ la trayectoria óptima asociada al problema, luego tomando los datos del problema tenemos el sistema

$$\dot{p}(t) = - \begin{bmatrix} 0 & 1 & 0 & 0 & 0 \\ 1 & 0 & 0 & 0 & 0 \\ 0 & 0 & 0 & 1 & 0 \\ 0 & 0 & 1 & 0 & 0 \\ 1 & 0 & 1 & 0 & 0 \end{bmatrix}^T p(t)$$

Equivalentemente

$$\dot{p}(t) = - \begin{bmatrix} 0 & 1 & 0 & 0 & 1 \\ 1 & 0 & 0 & 0 & 0 \\ 0 & 0 & 0 & 1 & 1 \\ 0 & 0 & 1 & 0 & 0 \\ 0 & 0 & 0 & 0 & 0 \end{bmatrix} p(t) = - \begin{bmatrix} p_2(t) + p_5(t) \\ p_1(t) \\ p_4(t) + p_5(t) \\ p_3(t) \\ 0 \end{bmatrix}$$

Con condición de borde

$$p(t_f) = -QX(t_f) = -\frac{1}{2} \begin{bmatrix} 1 & 0 & 1 & 0 & 0 \\ 0 & 1 & 0 & 0 & 0 \\ 1 & 0 & 1 & 0 & 0 \\ 0 & 0 & 0 & 1 & 0 \\ 0 & 0 & 0 & 0 & 0 \end{bmatrix} X(t_f) = -\frac{1}{2} \begin{bmatrix} x(t_f) + y(t_f) \\ \dot{x}(t_f) \\ x(t_f) + y(t_f) \\ \dot{y}(t_f) \\ 0 \end{bmatrix}$$

De esto último, deducimos que $p_5(t) = cte$, además, sabemos que $p_5(t_f) = 0$, por lo tanto, $p_5(t) = 0 \forall t \in [0, t_f]$, de donde obtenemos el sistema equivalente

$$\begin{bmatrix} \dot{p}_1(t) \\ \dot{p}_2(t) \\ \dot{p}_3(t) \\ \dot{p}_4(t) \end{bmatrix} = - \begin{bmatrix} p_2(t) \\ p_1(t) \\ p_4(t) \\ p_3(t) \end{bmatrix} = - \begin{bmatrix} 0 & 1 & 0 & 0 \\ 1 & 0 & 0 & 0 \\ 0 & 0 & 0 & 1 \\ 0 & 0 & 1 & 0 \end{bmatrix} p(t)$$

Junto a las condición de borde

$$p(t_f) = -\frac{1}{2} \begin{bmatrix} x(t_f) + y(t_f) \\ \dot{x}(t_f) \\ x(t_f) - y(t_f) \\ \dot{y}(t_f) \end{bmatrix}$$

El control óptimo toma la expresión, recordando que $p_5(t) = 0$

$$u(t) = U(t)^{-1} B(t)^T p(t) = I \begin{bmatrix} 0 & 1 & 0 & 0 & 0 \\ 0 & 0 & 0 & 1 & 0 \end{bmatrix} p(t)$$

De donde obtenemos que el control óptimo viene dado por

$$\begin{bmatrix} u(t) \\ v(t) \end{bmatrix} = \begin{bmatrix} p_2(t) \\ p_4(t) \end{bmatrix}$$

4. Ejercicio 3

Se utiliza el resultado anterior, junto a `scipy.integrate.solve_ivp` y nuevamente `scipy.optimize.minimize`, con tal de encontrar un control óptimo para el problema lineal cuadrático. Posteriormente, se realizan gráficos de las trayectorias óptimas junto a los controles óptimos, y el valor objetivo mínimo que alcanza el problema.

Considerando que el control óptimo se escribe

$$\begin{bmatrix} u(t) \\ v(t) \end{bmatrix} = \begin{bmatrix} p_2(t) \\ p_4(t) \end{bmatrix}$$

Definimos el sistema acoplado

$$\dot{\Phi}(t) = \begin{bmatrix} \dot{X} \\ \dot{p} \end{bmatrix} = \begin{bmatrix} \dot{x}(t) \\ x(t) + p_2(t) \\ \dot{y}(t) \\ y(t) + p_4(t) \\ x(t) + y(t) \\ -p_2(t) \\ -p_1(t) \\ -p_4(t) \\ -p_3(t) \end{bmatrix} = A\Phi(t)$$

Donde A viene dado por

$$A = \begin{bmatrix} 0 & 1 & 0 & 0 & 0 & 0 & 0 & 0 & 0 & 0 \\ 1 & 0 & 0 & 0 & 0 & 0 & 1 & 0 & 0 & 0 \\ 0 & 0 & 0 & 1 & 0 & 0 & 0 & 0 & 0 & 0 \\ 0 & 0 & 1 & 0 & 0 & 0 & 0 & 0 & 0 & 1 \\ 1 & 0 & 1 & 0 & 0 & 0 & 0 & 0 & 0 & 0 \\ 0 & 0 & 0 & 0 & 0 & 0 & -1 & 0 & 0 & 0 \\ 0 & 0 & 0 & 0 & 0 & -1 & 0 & 0 & 0 & 0 \\ 0 & 0 & 0 & 0 & 0 & 0 & 0 & 0 & 0 & -1 \\ 0 & 0 & 0 & 0 & 0 & 0 & 0 & 0 & -1 & 0 \end{bmatrix}$$

Con condición de término

$$\Phi(t_f) = \begin{bmatrix} X(t_f) \\ p(t_f) \end{bmatrix}$$

Notamos que no conocemos a priori $p(0)$ ni $X(t_f)$, luego para resolver la ecuación diferencial mediante *Scipy* con el método *solve-ivp* necesitamos encontrar condiciones iniciales $p(0)$ de manera que la solución con condición inicial

$$\Phi(0) = \begin{bmatrix} X(0) \\ p(0) \end{bmatrix}$$

cumpla la condición de término $p(t_f) = -QX(t_f)$ para la solución en $p(\cdot)$. Para ello definimos un problema de optimización que consiste en recibir una tupla $(p_1(0), p_2(0), p_3(0), p_4(0))$, resolver la ecuación diferencial para $\Phi(\cdot)$ en el intervalo $[0, t_f]$ y minimizar la cantidad

$$\|\Phi(t_f) - \begin{bmatrix} X(t_f) \\ -\frac{1}{2}x(t_f) - \frac{1}{2}y(t_f) \\ -\frac{1}{2}\dot{x}(t_f) \\ -\frac{1}{2}x(t_f) - \frac{1}{2}y(t_f) \\ -\frac{1}{2}\dot{y}(t_f) \end{bmatrix}\|_2$$

Equivalentemente, considerando $p(0) \in \mathbb{R}^4$ y $\Phi(t) = \begin{bmatrix} X(t) \\ p(t) \end{bmatrix}$ solución de la ecuación $\dot{\Phi}(t) = A\Phi(t)$ con condiciones iniciales $\Phi(0) = \begin{bmatrix} X(0) \\ p(0) \end{bmatrix}$, definimos el problema de optimización

$$\min_{p(0) \in \mathbb{R}^4} \|p(t_f) - \begin{bmatrix} -\frac{1}{2}x(t_f) - \frac{1}{2}y(t_f) \\ -\frac{1}{2}\dot{x}(t_f) \\ -\frac{1}{2}x(t_f) - \frac{1}{2}y(t_f) \\ -\frac{1}{2}\dot{y}(t_f) \end{bmatrix}\|_2$$

$$\text{sujeto a } \dot{\Phi}(t) = A\Phi(t), \quad \Phi(0) = \begin{bmatrix} X(0) \\ p(0) \end{bmatrix}$$

De esta manera encontramos el valor de $p(0)$ que hace factible las ecuaciones del principio del máximo de Pontryagin, pues como la EDO es lineal, pasa una única curva integral por $t = 0$ y $t = 5$

Notamos además que podemos escribir

$$p(t_f) = -\frac{1}{2} \begin{bmatrix} 1 & 0 & 1 & 0 \\ 0 & 1 & 0 & 0 \\ 1 & 0 & 1 & 0 \\ 0 & 0 & 0 & 1 \end{bmatrix} \begin{bmatrix} x(t_f) \\ \dot{x}(t_f) \\ y(t_f) \\ \dot{y}(t_f) \end{bmatrix} = -\frac{1}{2} \begin{bmatrix} x(t_f) + y(t_f) \\ \dot{x}(t_f) \\ x(t_f) + y(t_f) \\ \dot{y}(t_f) \end{bmatrix}$$

Que será útil para efectos del código.

Para su resolución numérica, se definen funciones para resolver la dinámica acoplada y se resuelve el problema de optimización expresando el respectivo problema en su versión discretizada para ser resuelto con *minimize* para encontrar el $p(0)$ óptimo, el cual sabemos que es el valor de $p(0)$ real para el sistema acoplado, pues como la ecuación diferencial es lineal, en particular, del TEU existe una única curva integral que conecta las soluciones para los tiempos $p(0)$ y $p(t_f)$, como la solución con condición inicial para dicho $p(0)$ es tal que

$$p(t_f) = \begin{bmatrix} -\frac{1}{2}x(t_f) - \frac{1}{2}y(t_f) \\ -\frac{1}{2}\dot{x}(t_f) \\ -\frac{1}{2}x(t_f) - \frac{1}{2}y(t_f) \\ -\frac{1}{2}\dot{y}(t_f) \end{bmatrix}$$

Concluimos que $p(0)$ es el valor real asociado a las soluciones del problema, de donde podemos graficar los resultados

Código 1: Solución del problema de optimización

```

1  # Definimos la dinámica del sistema acoplado
2  def PhiDynamics(t,phi):
3      return np.dot(A, phi)
4
5  # Definimos función toma como variables las condiciones iniciales de p y devuelve la condi-
   ↪  ción inicial para Phi
6  def Phi0(p_0):
7      X_0 = np.array([1, 0, 1, 0, 0])
8      Phi_0 = np.concatenate((X_0,p_0))
9      return Phi_0
10
11 # Definimos problema de optimización
12
13 def objective_function(p_0):
14     #Condiciones iniciales
15     Phi_0 = Phi0(p_0)
16
17     #Resolver la EDO y devolver Phi(t_f)
18     Phi_tf = solve_ivp(PhiDynamics, t_span, Phi_0, t_eval=[t_f], method='RK45') #Phi(
   ↪  t_f)
19     p_tf = Phi_tf.y[-4:] #p(t_f)
20     X_tf = Phi_tf.y[:4] #(x, dx, y, dy)
21     QX_tf = np.dot(Q, X_tf) #Q x_tf
22
23     # Minimización
24     error = np.linalg.norm(p_tf - QX_tf)
25     return error

```

Código 2: Solución máximo de Pontryagin (PMP)

```

1  # Iteración inicial para p(0)
2  p0_initial_guess = np.array([1,2,0,4])
3
4  # Resolver el problema de optimización
5  result = minimize(objective_function, p0_initial_guess)
6  p0_optimal = result.x
7
8  # Función para resolver el sistema acoplado
9  def solve_coupled_system(p_0):
10     # Condiciones iniciales
11     Phi_0 = Phi0(p_0)
12
13     # Resolver la EDO
14     Phi_solution = solve_ivp(PhiDynamics, t_span, Phi_0, t_eval=np.linspace(0, t_f, 100),
15                               ↪ method='RK45')
16     Phi_solution_tf = solve_ivp(PhiDynamics, t_span, Phi_0, t_eval=[t_f], method='
17                               ↪ RK45')
18     # Obtener resultados
19     t = Phi_solution.t
20     X_solution = Phi_solution.y[:5]
21     X_solution_tf = Phi_solution_tf.y[:5]
22     # Calcular los controles óptimos (u(t), v(t)) = (p_2(t), p_4(t))
23     u_optimal = Phi_solution.y[6]
24     v_optimal = Phi_solution.y[8]
25
26     objective_value = 0.5*(X_solution_tf[0]**2 + X_solution_tf[1]**2 + X_solution_tf
27                               ↪ [2]**2 + X_solution_tf[3]**2 + 2*X_solution_tf[0]*X_solution_tf[2]) + integrate.
28                               ↪ simpson(u_optimal**2 + v_optimal**2, t)
29     return t, X_solution, u_optimal, v_optimal, objective_value
30
31 # Resolver el sistema acoplado con p_0 óptimo
32 t, X_solution, u_optimal, v_optimal, objective_value = solve_coupled_system(p0_optimal)

```

Se grafican los resultados de la trayectoria óptima y sus respectivos controles óptimos y se presenta el valor objetivo alcanzado $J(u(\cdot))$.

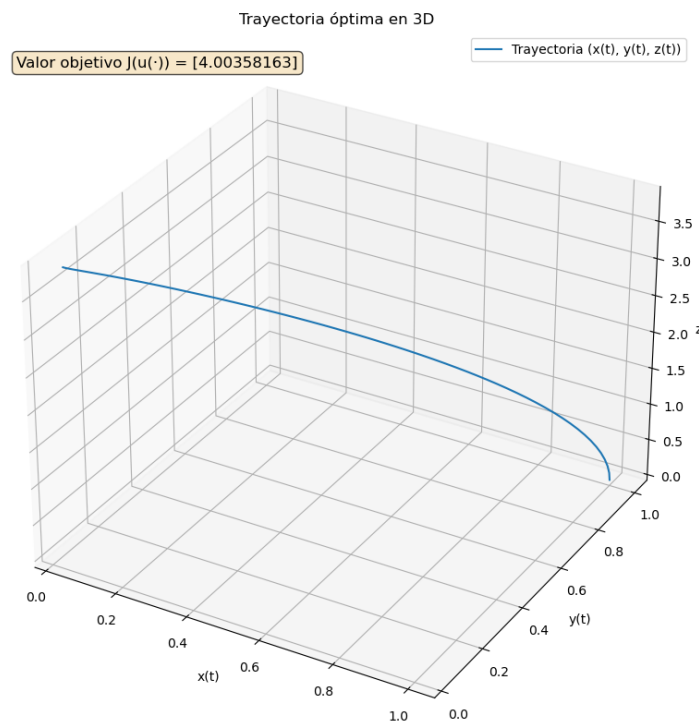


Figura 1: Trayectoria Óptima obtenido del principio del máximo de Pontryagin

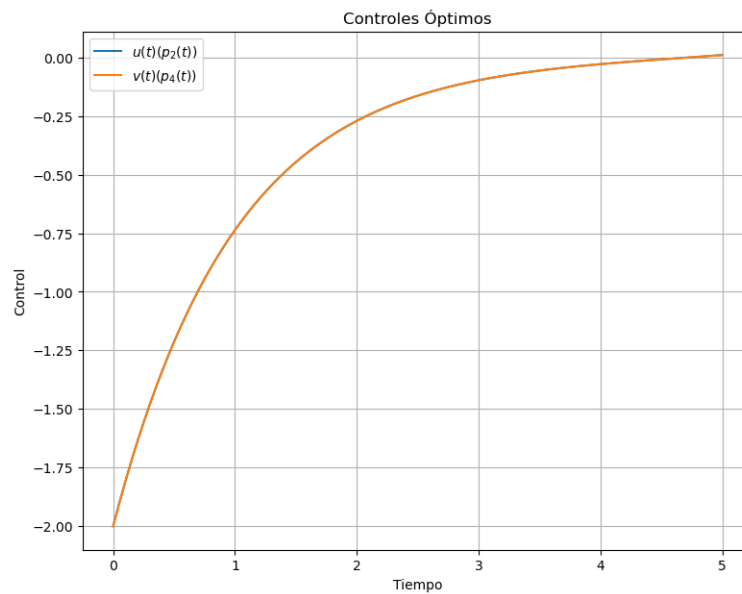


Figura 2: Control óptimo del principio del máximo de Pontryagin

5. Ejercicio 4

Establecemos la ecuación de Riccati del problema para resolverla numéricamente.

Sabemos que $u(\cdot)$ se puede escribir en forma de feedback lineal, pues se cumple la condición de existencia y unicidad trivialmente al ser $U = I$.

El único control óptimo de nuestro problema (PLC) se puede expresar como el feedback lineal

$$u(t) = U^{-1}(t)B(t)^\top E(t)X(t) \text{ c.t.p. } t \in [0, t_f]$$

donde $E(\cdot)$ es la solución sobre $[0, t_f]$ de la ecuación matricial de Riccati:

$$\begin{cases} \dot{E}(t) = W(t) - A(t)^\top E(t) - E(t)^\top A(t) - E(t)^\top B(t)U^{-1}(t)B(t)^\top E(t) \\ E(t_f) = -Q \end{cases}$$

Más aún, $E(\cdot)$ es a valores simétricos y la función valor del problema cumple

$$\text{val(PLC)} = -x_0^\top E(0)x_0$$

Identificando términos de nuestro problema tenemos

$$Q = \frac{1}{2} \begin{bmatrix} 1 & 0 & 1 & 0 & 0 \\ 0 & 1 & 0 & 0 & 0 \\ 1 & 0 & 1 & 0 & 0 \\ 0 & 0 & 0 & 1 & 0 \\ 0 & 0 & 0 & 0 & 0 \end{bmatrix} ; U = \begin{bmatrix} 1 & 0 \\ 0 & 1 \end{bmatrix} ; W = 0_5$$

Junto a

$$A = \begin{bmatrix} 0 & 1 & 0 & 0 & 0 \\ 1 & 0 & 0 & 0 & 0 \\ 0 & 0 & 0 & 1 & 0 \\ 0 & 0 & 1 & 0 & 0 \\ 1 & 0 & 1 & 0 & 0 \end{bmatrix} ; B = \begin{bmatrix} 0 & 0 \\ 1 & 0 \\ 0 & 0 \\ 0 & 1 \\ 0 & 0 \end{bmatrix}$$

Y entonces la ecuación de Riccati asociada al control óptimo

$$u(t) = B(t)^\top E(t)X(t) \text{ c.t.p. } t \in [0, t_f]$$

Se formula como

$$\begin{cases} \dot{E}(t) = -A^\top E(t) - E(t)^\top A - E(t)^\top B B^\top E(t) \\ E(t_f) = -Q \end{cases}$$

Para ello resolvemos el sistema inverso que sigue

$$\hat{E}(t) = E(t_f - t) \implies \dot{\hat{E}}(t) = -\dot{E}(t_f - t) = -\hat{E}(t),$$

con el fin de resolver usando `solve_ivp` con condición inicial $\hat{E}(0) = -Q$.

Se tiene la dinámica

$$\begin{cases} \dot{\hat{E}}(t) = A^\top \hat{E}(t) + \hat{E}(t)^\top A + \hat{E}(t)^\top B B^\top \hat{E}(t) \\ \hat{E}(0) = -Q \end{cases}$$

Código 3: Solución del problema por feedback lineal (FL)

```

1
2 # Función de dinámica de Riccati inversa
3 def RiccatiDynamics(t, E):
4     # Reformar la matriz de 5x5
5     E_matrix = np.array(E).reshape(5, 5)
6     # Dinámica
7     dynamics = np.dot(A.T, E_matrix) + np.dot(E_matrix.T, A) + np.dot(E_matrix, np.
8         ↪ dot(np.dot(B,B.T),E_matrix))
9     return dynamics.ravel() # Aplanar la matriz resultante
10
11 # Función hat_E(t) solución de la ecuación de Riccati inversa con dense_output, se usará
12     ↪ para definir el control feedback.
13 hat_E = solve_ivp(RiccatiDynamics, t_span, Q.ravel, method='RK45', t_eval = np.
14     ↪ linspace(0,t_f,1001), dense_output = True).sol
15
16 # Funcion E(t) solución de la ecuación de Riccati inversa como función lambda
17 def E_matrix(t):
18     E_matrix = hat_E(t_f-t).reshape(5,5)
19     return E_matrix
20
21 # Definimos la dinámica del sistema controlado por feedback lineal
22 def DynamicsRFeedback(t, X):
23     return np.dot(A,X) + np.dot(B,np.dot(B.T, np.dot(E_matrix(t), X)))
24
25 # Entregamos la solución del sistema
26 X_solution_feedback = solve_ivp(DynamicsRFeedback, t_span, X_0, method='RK45',
27     ↪ t_eval = np.linspace(0,t_f,1001))
28 objective_value_feedback = -np.dot(X_0, np.dot(E_matrix(0),X_0)) #-X_0^T E(0) X_0

```

A partir de lo anterior, se entregan las siguientes soluciones para la ecuación, y además, se imprime el valor de $J(u(\cdot)) = -X_0^T E(0) X_0$ entregando un valor muy similar a la solución del problema vía (PMP), siendo coherente así con la teoría y las propiedades de la función matricial $E(t)$

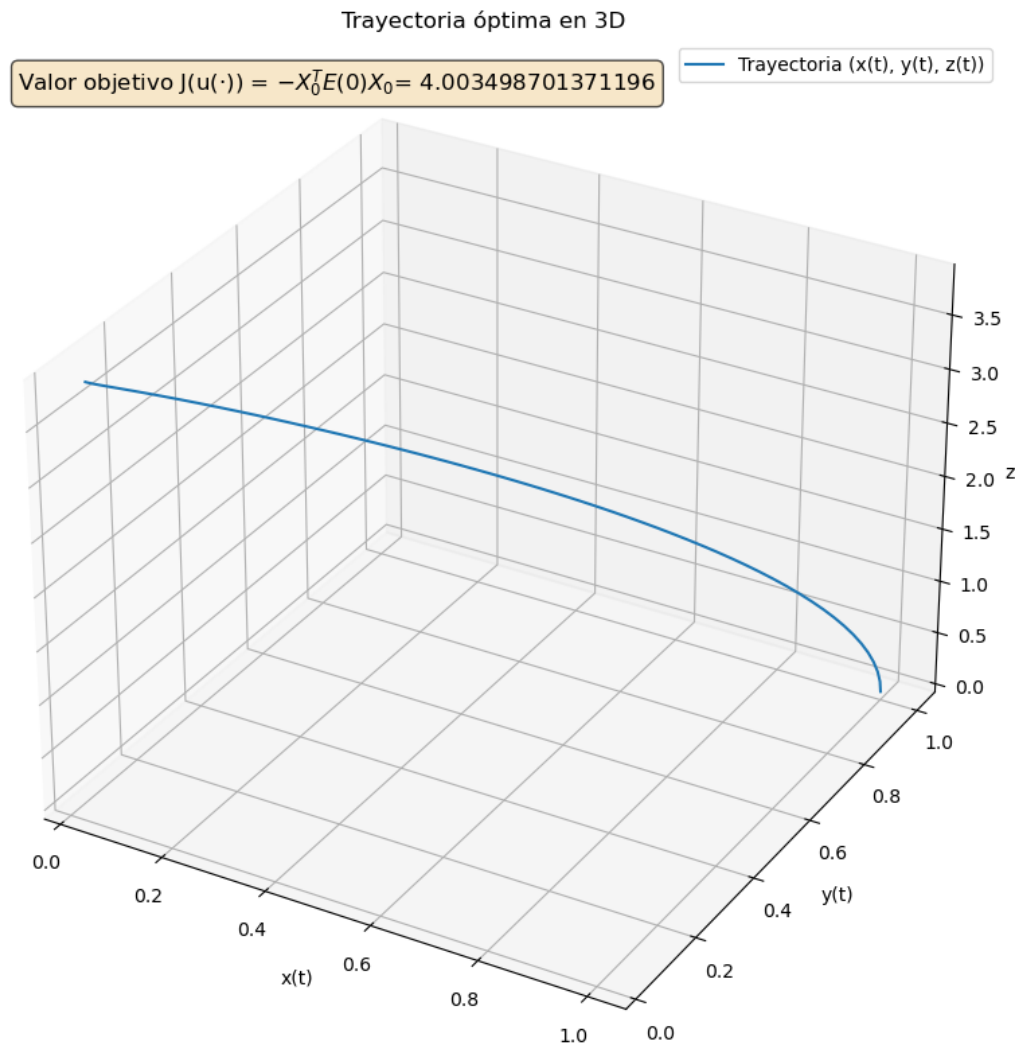


Figura 3: Trayectoria óptima feedback mediante ecuación de Riccati

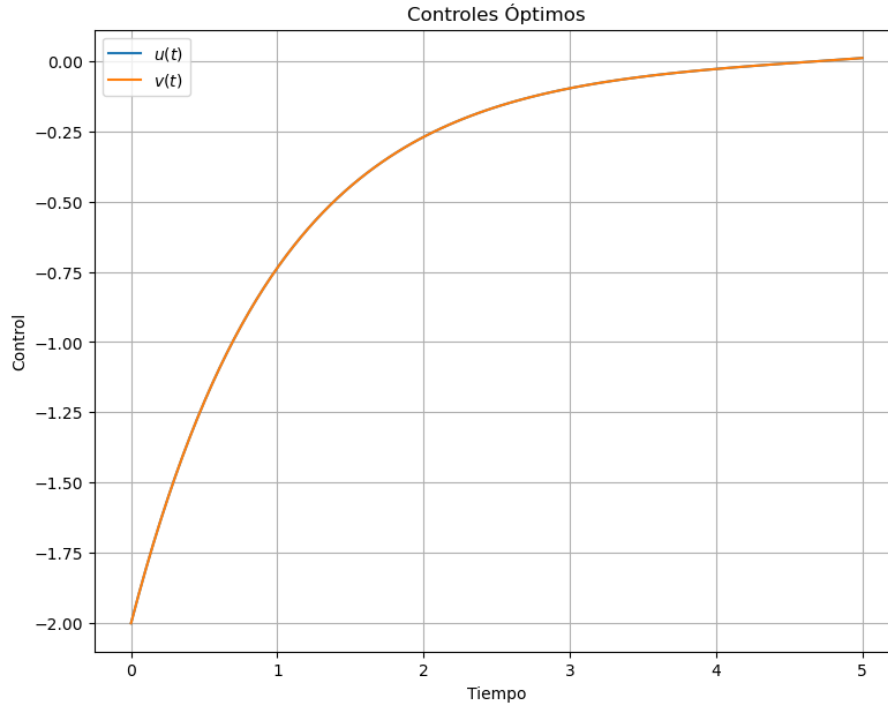


Figura 4: Control óptimo feedback mediante ecuación de Riccati

Comparativas: Notamos a simple vista que ambas soluciones son casi idénticas, para la solución encontrada mediante el principio del máximo de Pontryagin, se alcanza un valor objetivo de $J(u(\cdot)) = 4.003579$ que es ligeramente mayor al valor objetivo alcanzado mediante un control de tipo feedback obtenido de la ecuación de Riccati que alcanza un valor objetivo $J(u(\cdot)) = -X_0^T E(0) X_0 = 4.0034987$.

Con el fin de estimar la diferencia de las soluciones, computamos sus diferencias en la norma de $L^2([0, t_f], \mathbb{R}^3)$ para el caso de las trayectorias $(x(t), y(t), z(t))$, y en la norma de $L^2([0, t_f], \mathbb{R}^2)$ para los controles $(u(t), y(t))$ que son irrestrictos

Denotamos las soluciones asociadas al principio del máximo de Pontryagin por (PMP), y a las soluciones asociadas a la ecuación de Riccati de tipo feedback lineal por (FL), se calculan las cantidades

$$\|X_{PMP} - X_{FL}\|_{L^2} = \sqrt{\int_0^{t_f} (x_{PMP}(t) - x_{FL}(t))^2 + (y_{PMP}(t) - y_{FL}(t))^2 + (z_{PMP}(t) - z_{FL}(t))^2 dt}$$

$$\|u_{PMP} - u_{FL}\|_{L^2} = \sqrt{\int_0^{t_f} (u_{PMP}(t) - u_{FL}(t))^2 + (v_{PMP}(t) - v_{FL}(t))^2 dt}$$

Para ello se escribe el siguiente código

Código 4: Error L2 de las trayectorias y controles

```

1 # Calculamos error L2 de las trayectorias
2 error_trayectorias_L2 = np.sqrt(integrate.simpson((x - x_feedback)**2 + (y - y_feedback)
   ↪ **2 + (z - z_feedback)**2, t))
3 print(r'El error L2 de las trayectorias obtenidas ||X_{PMP}(t) - X_{FL}||_L2',
   ↪ error_trayectorias_L2)
4
5 # Calculamos error L2 de los controles
6 error_control_L2 = np.sqrt(integrate.simpson((u_optimal - u_feedback)**2 + (v_optimal -
   ↪ v_feedback)**2, t))
7 print(r'El error L2 de los controles obtenidos ||u_{PMP}(t) - u_{FL}||_L2',
   ↪ error_control_L2)

```

De donde se obtiene que

$$\|X_{PMP} - X_{FL}\|_{L^2} = 0.000161217$$

$$\|u_{PMP} - u_{FL}\|_{L^2} = 0.000115025$$

A partir de esto confirmamos que las soluciones obtenidas mediante el principio del máximo de Pontryagin y las soluciones de tipo feedback obtenidas mediante la ecuación de Riccati resultan ser casi idénticas en el sentido de L^2 .

6. Ejercicio 5

Resolvemos el problema lineal cuadrático haciendo uso de BOCOP bajo las mismas condiciones iniciales, y el mismo valor de $t_f = 5$, para su resolución, debemos formular el problema como un problema de tipo Mayer, es decir, debemos hacer un cambio en la dinámica para expresar la cantidad de tipo Lagrangiano

$$\int_0^{t_f} u(t)^2 + v(t)^2 dt$$

Como una condición que dependa de las condiciones de borde $\Phi(t_f)$, consideramos entonces

$$\Phi(t) = \int_0^t u(t)^2 + v(t)^2 dt$$

Entonces Φ cumple la dinámica, $\dot{\Phi}(t) = u(t)^2 + v(t)^2$, que por construcción cumple la condición inicial $\Phi(0) = 0$

Considerando esta nueva función, el problema se puede escribir

$$\min_{(u(\cdot), v(\cdot))} \frac{1}{2} (\dot{x}^2 + \dot{y}^2 + x^2 + 2xt + y^2)(t_f) + \Phi(t_f)$$

Sujeto a la dinámica

$$\frac{d}{dt} \begin{bmatrix} x(t) \\ \dot{x}(t) \\ y(t) \\ \dot{y}(t) \\ z(t) \\ \Phi(t) \end{bmatrix} = \begin{bmatrix} \dot{x}(t) \\ x(t) + u(t) \\ \dot{y}(t) \\ y(t) + v(t) \\ x(t) + y(t) \\ u(t)^2 + v(t)^2 \end{bmatrix} ; \quad \begin{bmatrix} x(0) \\ \dot{x}(0) \\ y(0) \\ \dot{y}(0) \\ z(0) \\ \Phi(0) \end{bmatrix} = \begin{bmatrix} 1 \\ 0 \\ 1 \\ 0 \\ 0 \\ 0 \end{bmatrix}$$

Se procede a escribir el problema en BOCOP inicializando la cantidad de variables de estado como 6, las variables de control como 2, tiempo final como 5 y condiciones de borde para las variables de estado, junto a las etiquetas de las variables dentro del GUI de BOCOP, seguido a esto, se escriben los archivos *criterion.tpp*, *dynamics.tpp*, *boundarycond.tpp*.

Una vez se obtienen los resultados, se exportan desde BOCOP hacia Python, y se procede a graficar trayectorias y realizar comparativas con respecto de los resultados anteriores.

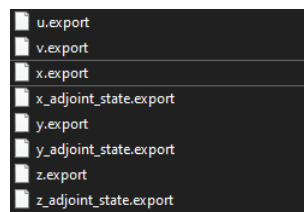


Figura 5: Exporte de datos de BOCOP

Para definir el criterio de minimización se escribe

Código 5: criterion.tpp

```
1 criterion = (0.5 * ((final_state[1] * final_state[1]) + (final_state[3] * final_state[3]) + (  
    ↪ final_state[0] * final_state[0]) + (2 * final_state[0] * final_state[2]) + (final_state[2]  
    ↪ * final_state[2])))) + final_state[5];
```

Para definir la dinámica del sistema se escribe

Código 6: dynamics.tpp

```
1 Tdouble x = state[0];  
2 Tdouble dx = state[1];  
3 Tdouble y = state[2];  
4 Tdouble dy = state[3];  
5 Tdouble z = state[4];  
6 Tdouble phi = state[5];  
7 Tdouble control_u = control[0];  
8 Tdouble control_v = control[1];  
9  
10 state_dynamics[0] = dx;  
11 state_dynamics[1] = x + control_u;  
12 state_dynamics[2] = dy;  
13 state_dynamics[3] = y + control_v;  
14 state_dynamics[4] = x + y;  
15 state_dynamics[5] = (control_u * control_u) + (control_v * control_v);
```

Y por último, para definir las condiciones iniciales del sistema se escribe

Código 7: dynamics.tpp

```
1 boundary_conditions[0] = initial_state[0];  
2 boundary_conditions[1] = initial_state[1];  
3 boundary_conditions[2] = initial_state[2];  
4 boundary_conditions[3] = initial_state[3];  
5 boundary_conditions[4] = initial_state[4];  
6 boundary_conditions[5] = initial_state[5];
```

Luego de escribir el problema, se resuelve mediante distintos métodos de discretización, todos entregan resultados idénticos para la práctica

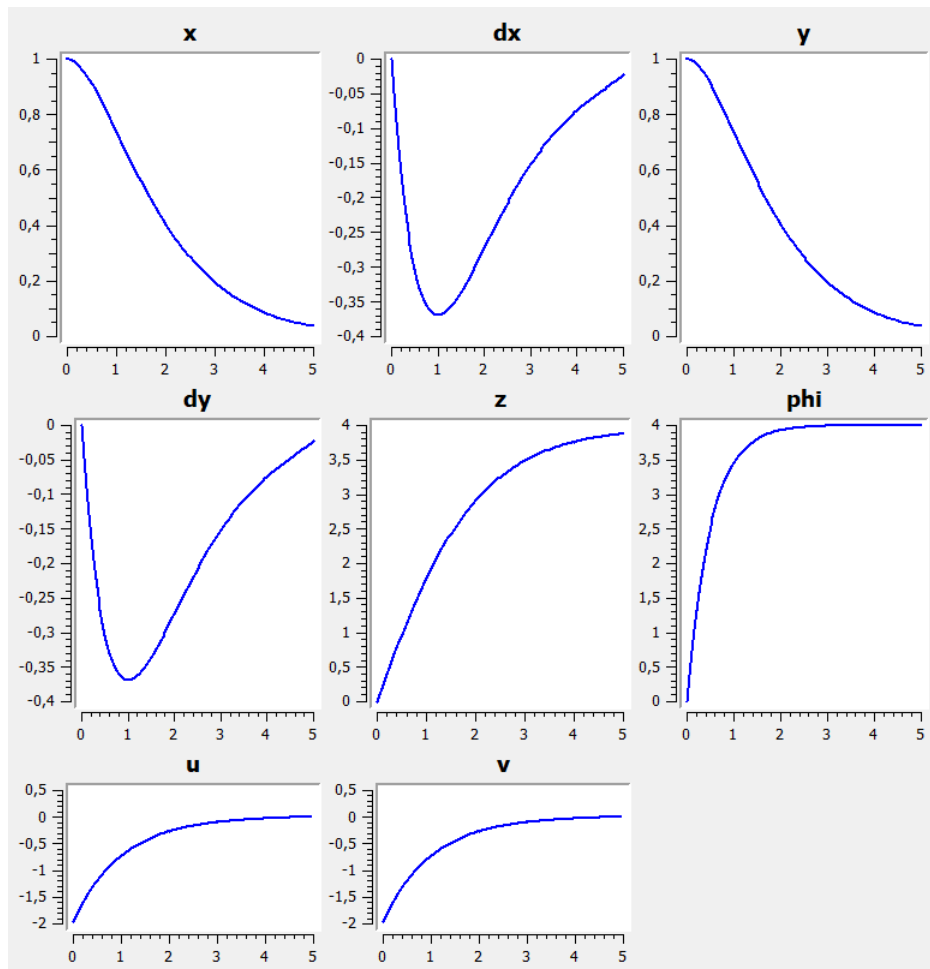


Figura 6: Gráficos obtenidos resolviendo directamente en BOCOP

Dicha solución alcanza un valor objetivo $J(u(\cdot)) = 4.00348$ junto con errores de restricción del estado adjunto despreciables

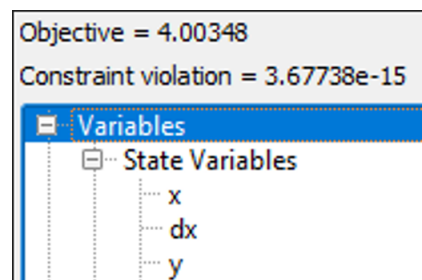


Figura 7: Valor objetivo obtenido a través de BOCOP

Comparativos: Se exportan los resultados obtenidos por BOCOP, tenemos primero para el caso de las trayectorias óptimas:

Código 8: Exporte de las trayectorias de BOCOP

```
1 # Importe de la trayectoria óptima desde BOCOP
2 # Solución en x
3
4 x_bocop = [
5     1, 0.998765, 0.995222, 0.989603, 0.982118, 0.972967, 0.962331, 0.950378, 0.937263,
6     ↪ 0.923131,
7     0.908112, 0.892329, 0.875892, 0.858905, 0.841461, 0.823646, 0.805539, 0.787211, 0.768728,
8     ↪ 0.75015,
9     0.73153, 0.712918, 0.694357, 0.675888, 0.657546, 0.639363, 0.621368, 0.603585, 0.586038,
10    ↪ 0.568747,
11    0.551727, 0.534995, 0.518562, 0.50244, 0.486637, 0.471161, 0.456017, 0.441211, 0.426745,
12    ↪ 0.412621,
13    0.398840, 0.385403, 0.372308, 0.359554, 0.347140, 0.335061, 0.323315, 0.311898, 0.300806,
14    ↪ 0.290034,
15    0.279577, 0.269430, 0.259587, 0.250043, 0.240792, 0.231827, 0.223144, 0.214735, 0.206595,
16    ↪ 0.198716,
17    0.191094, 0.183722, 0.176593, 0.169701, 0.163041, 0.156606, 0.150391, 0.144389, 0.138594,
18    ↪ 0.133002,
19    0.127607, 0.122404, 0.117386, 0.112550, 0.107890, 0.103402, 0.0990814, 0.0949233,
20    ↪ 0.0909239, 0.0870792,
21    0.0833855, 0.0798391, 0.0764368, 0.0731753, 0.0700518, 0.0670636, 0.0642082, 0.0614834,
22    ↪ 0.0588872,
23    0.0564180, 0.0540742, 0.0518548, 0.0497587, 0.0477855, 0.0459348, 0.0442066, 0.0426014,
24    ↪ 0.0411196, 0.0397625,
25    0.0385314
26 ]
```

```

1  # Solución en y
2
3  y_bocop = [
4      1, 0.998765, 0.995222, 0.989603, 0.982118, 0.972967, 0.962331, 0.950378, 0.937263,
5          ↪ 0.923131,
6      0.908112, 0.892329, 0.875892, 0.858905, 0.841461, 0.823646, 0.805539, 0.787211, 0.768728,
7          ↪ 0.75015,
8      0.73153, 0.712918, 0.694357, 0.675888, 0.657546, 0.639363, 0.621368, 0.603585, 0.586038,
9          ↪ 0.568747,
10     0.551727, 0.534995, 0.518562, 0.50244, 0.486637, 0.471161, 0.456017, 0.441211, 0.426745,
11         ↪ 0.412621,
12     0.398840, 0.385403, 0.372308, 0.359554, 0.347140, 0.335061, 0.323315, 0.311898, 0.300806,
13         ↪ 0.290034,
14     0.279577, 0.269430, 0.259587, 0.250043, 0.240792, 0.231827, 0.223144, 0.214735, 0.206595,
15         ↪ 0.198716,
16     0.191094, 0.183722, 0.176593, 0.169701, 0.163041, 0.156606, 0.150391, 0.144389, 0.138594,
17         ↪ 0.133002,
18     0.127607, 0.122404, 0.117386, 0.112550, 0.107890, 0.103402, 0.0990814, 0.0949233,
19         ↪ 0.0909239, 0.0870792,
20     0.0833855, 0.0798391, 0.0764368, 0.0731753, 0.0700518, 0.0670636, 0.0642082, 0.0614834,
21         ↪ 0.0588872,
22     0.0564180, 0.0540742, 0.0518548, 0.0497587, 0.0477855, 0.0459348, 0.0442066, 0.0426014,
23         ↪ 0.0411196, 0.0397625,
24     0.0385314
25 ]
26
27 # Solución en z
28
29 z_bocop = [
30     0, 0.100968, 0.201693, 0.301953, 0.40155, 0.500305, 0.598059, 0.694671, 0.790015,
31         ↪ 0.883983,
32     0.976477, 1.06741, 1.15672, 1.24434, 1.33022, 1.41432, 1.49661, 1.57705, 1.65563, 1.73235,
33     1.80718, 1.88013, 1.9512, 2.02041, 2.08775, 2.15325, 2.21692, 2.27879, 2.33887, 2.39719,
34     2.45377, 2.50866, 2.56186, 2.61343, 2.66338, 2.71175, 2.75857, 2.80388, 2.84772, 2.89011,
35     2.93109, 2.97069, 3.00896, 3.04592, 3.08161, 3.11606, 3.14931, 3.18139, 3.21233, 3.24216,
36     3.27093, 3.29866, 3.32537, 3.35111, 3.37589, 3.39976, 3.42274, 3.44485, 3.46613, 3.4866,
37     3.50628, 3.52521, 3.5434, 3.56089, 3.5777, 3.59384, 3.60934, 3.62423, 3.63852, 3.65223,
38     3.66539, 3.67802, 3.69013, 3.70174, 3.71287, 3.72354, 3.73377, 3.74356, 3.75295, 3.76194,
39     3.77054, 3.77879, 3.78668, 3.79423, 3.80147, 3.80839, 3.81502, 3.82137, 3.82744, 3.83327,
40     3.83885, 3.84419, 3.84933, 3.85425, 3.85898, 3.86353, 3.86792, 3.87214, 3.87623, 3.88018
41 ]

```

A partir de estos datos, procedemos a graficar la trayectoria descrita en Python y computamos los errores que tiene con respecto a las soluciones obtenidas mediante Pontryagin y Feedback lineal en norma L^2

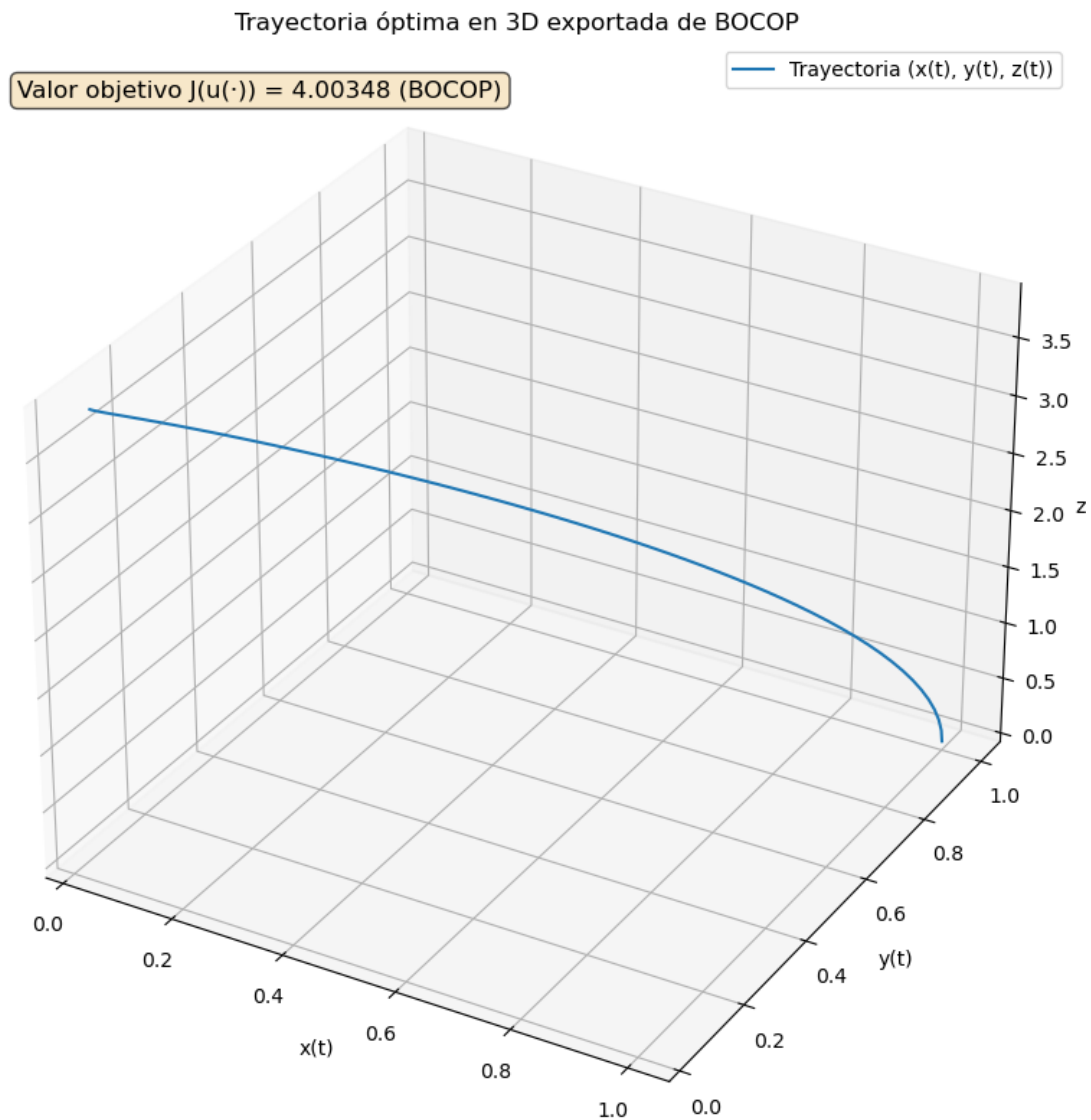


Figura 8: Trayectoria simulada en Python con datos exportados de BOCOP

Computamos los errores escribiendo el código

Código 9: Error entre resultados de BOCOP con Python para trayectorias

```

1 # Calculamos error L2 de las trayectorias de BOCOP con la solución obtenida del máximo
  ↪ de Pontryagin
2 error_trayectorias_L2_bocop_pmp = np.sqrt(integrate.simpson((x - x_bocop)**2 + (y -
  ↪ y_bocop)**2 + (z - z_bocop)**2, t))
3 # Calculamos error L2 de las trayectorias de BOCOP con la solución obtenida del control
  ↪ feedback
4 error_trayectorias_L2_bocop_fl = np.sqrt(integrate.simpson((x_feedback - x_bocop)**2 +
  ↪ (y_feedback - y_bocop)**2 + (z_feedback - z_bocop)**2, t))

```

De donde se obtiene que

$$\|X_{BOCOP} - X_{PMP}\|_{L^2} = 0.00018232$$

$$\|X_{BOCOP} - X_{FL}\|_{L^2} = 0.000148207$$

A partir de esto, confirmamos la similitud entre las soluciones dadas por BOCOP y por aquellas dadas en Python usando el principio de máximo de Pontryagin y las ecuaciones de Riccati, observando que el error toma valores del orden de 10^{-4} en la norma L^2

Realizamos el mismo procedimiento para los controles óptimos $(u(t), v(t))$, exportando los datos de BOCOP se tiene

Código 10: Exporte de los controles óptimos de BOCOP

```

1
2 # Importe de controles óptimos desde BOCOP
3 u_bocop = [
4     -1.95169, -1.85555, -1.76415, -1.67724, -1.59462, -1.51606, -1.44137, -1.37036, -1.30284,
5         ↪ -1.23865,
6     -1.17762, -1.11959, -1.06442, -1.01196, -0.962088, -0.914669, -0.869583, -0.826716,
7         ↪ -0.785958, -0.747206,
8     -0.71036, -0.675326, -0.642015, -0.610342, -0.580226, -0.551591, -0.524363, -0.498472,
9         ↪ -0.473854, -0.450444,
10    -0.428184, -0.407016, -0.386886, -0.367744, -0.349539, -0.332227, -0.315762, -0.300103,
11        ↪ -0.285209, -0.271043,
12    -0.257568, -0.244751, -0.232558, -0.220959, -0.209923, -0.199422, -0.189431, -0.179923,
13        ↪ -0.170874, -0.16226,
14    -0.154061, -0.146255, -0.138822, -0.131743, -0.125, -0.118576, -0.112455, -0.106621,
15        ↪ -0.101058, -0.0957539,
16    -0.0906936, -0.0858647, -0.081255, -0.0768525, -0.0726461, -0.068625, -0.064779,
17        ↪ -0.0610983, -0.0575734,
18    -0.0541955, -0.0509558, -0.0478461, -0.0448585, -0.0419854, -0.0392193, -0.0365533,
19        ↪ -0.0339806, -0.0314946,
20    -0.0290889, -0.0267574, -0.0244942, -0.0222935, -0.0201497, -0.0180573, -0.0160109,
21        ↪ -0.0140054, -0.0120357,
22    -0.0100966, -0.0081833, -0.00629088, -0.0044145, -0.00254939, -0.000690783, 0.00116606,
23        ↪ 0.00302588, 0.00489342,
24    0.00677345, 0.00867075, 0.0105902, 0.0105902
25 ]
26
27 v_bocop = [
28     -1.95169, -1.85555, -1.76415, -1.67724, -1.59462, -1.51606, -1.44137, -1.37036, -1.30284,
29         ↪ -1.23865,
30     -1.17762, -1.11959, -1.06442, -1.01196, -0.962088, -0.914669, -0.869583, -0.826716,
31         ↪ -0.785958, -0.747206,
32     -0.71036, -0.675326, -0.642015, -0.610342, -0.580226, -0.551591, -0.524363, -0.498472,
33         ↪ -0.473854, -0.450444,
34     -0.428184, -0.407016, -0.386886, -0.367744, -0.349539, -0.332227, -0.315762, -0.300103,
35         ↪ -0.285209, -0.271043,
36     -0.257568, -0.244751, -0.232558, -0.220959, -0.209923, -0.199422, -0.189431, -0.179923,
37         ↪ -0.170874, -0.16226,
38     -0.154061, -0.146255, -0.138822, -0.131743, -0.125, -0.118576, -0.112455, -0.106621,
39         ↪ -0.101058, -0.0957539,
40     -0.0906936, -0.0858647, -0.081255, -0.0768525, -0.0726461, -0.068625, -0.064779,
41         ↪ -0.0610983, -0.0575734,
42     -0.0541955, -0.0509558, -0.0478461, -0.0448585, -0.0419854, -0.0392193, -0.0365533,
43         ↪ -0.0339806, -0.0314946,

```

```

26 -0.0290889, -0.0267574, -0.0244942, -0.0222935, -0.0201497, -0.0180573, -0.0160109,
    ↪ -0.0140054, -0.0120357,
27 -0.0100966, -0.0081833, -0.00629088, -0.0044145, -0.00254939, -0.000690783, 0.00116606,
    ↪ 0.00302588, 0.00489342,
28 0.00677345, 0.00867075, 0.0105902, 0.0105902
29 ]

```

A partir de estos datos, graficamos los controles y computamos los errores en el sentido de L^2 con las soluciones previamente obtenidas, donde el código sigue la misma estructura que los anteriores, se obtiene

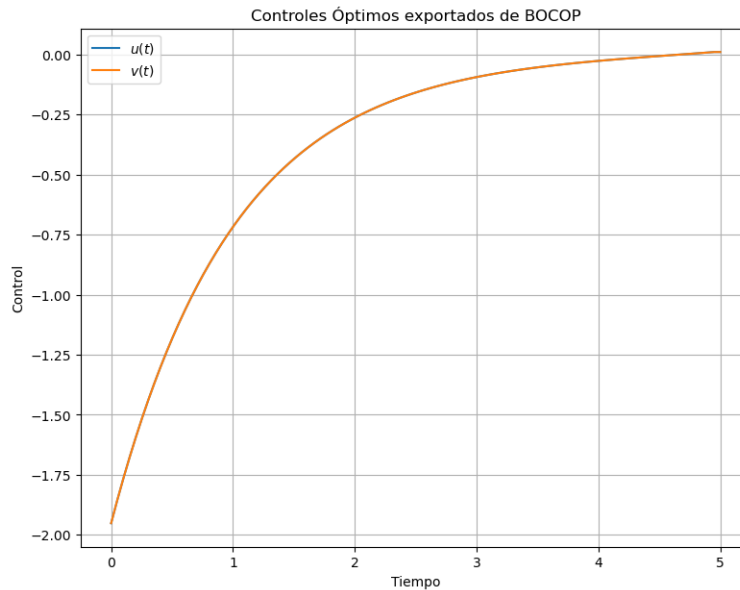


Figura 9: Controles óptimos en Python con datos exportados de BOCOP

Junto a los errores en norma L^2 con respecto de los resultados anteriores

$$\|u_{BOCOP} - u_{PMP}\|_{L^2} = 0.049735971$$

$$\|u_{BOCOP} - u_{FL}\|_{L^2} = 0.0497403162$$

Notamos que los valores objetivo obtenidos en cada uno de los problemas anteriores tienen diferencias del orden de 10^{-4} , y diferencias del orden de 10^{-2} en la norma L^2 para las trayectorias óptimas y controles óptimos respectivos, lo cual nos permite concluir no sólo sobre la acertividad/utilidad de los tres métodos, sino que además, son coherentes entre sí.